

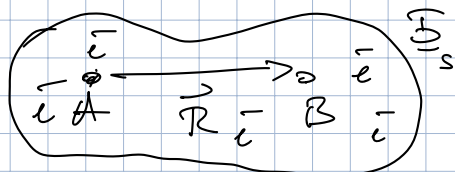
## MOLÉCULES DIATOMIQUES

→ états électrostatiques

→ états de vibration / rotation des noyaux

### Approximation de Born-Oppenheimer

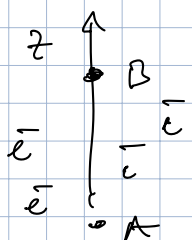
$$\tilde{\Psi}(\{\vec{r}_i\}, \vec{R}) \approx \underbrace{\Psi_s(\{\vec{r}_i\}; \vec{R})}_{\uparrow S} \underbrace{\mathcal{F}_s(\vec{R})}_{\uparrow R}$$



pour les électrons (noyaux état fixe)

$S \rightarrow$  nouvelles quantités associées aux méthodes  
(= quantités compatibles avec He)

① moment cinétique de rotation autour de l'axe moléculaire



$$\vec{L} = \sum_{i=1}^N \vec{l}_i$$

$n$  = nombre des électrons

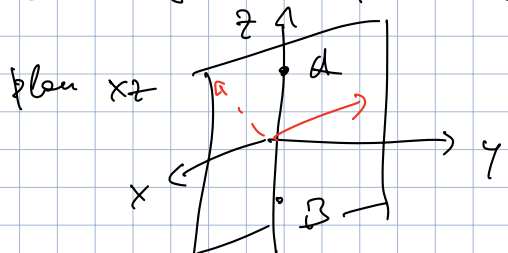
$\vec{L}$  est conservé  $\rightarrow$   $LM$

$$M = 0, \pm 1, \pm 2, \dots$$

$L = |M| = 0, 1, 2, \dots$   
ent. spectroscopique  $\Sigma, \Pi, \Delta, \dots$

(1 électron seulement,  $H_2^+$ )  $\sigma, \pi, \delta, \dots$

② réflexion par rapport à un plan qui contient l'axe moléculaire



$$\hat{A}_y \Psi_s(x, y, z) = \Psi_s(x, -y, z)$$

$$\hat{A}_y \tilde{\Psi}_s(\{\vec{r}_i\}, \vec{R}) = \underbrace{\pm \tilde{\Psi}_s(\{\vec{r}_i\}, \vec{R})}_{\text{partie sous réflexion}}$$

1 seul électron :  $\tilde{\Psi}_s(x, y, z; \vec{R}) \sim \langle H \rangle(\vec{r}) e^{im\phi}$

fonction propre de  $\hat{L}^2 \rightarrow -i\hbar \frac{\partial}{\partial \phi}$

$$\gamma \rightarrow -\gamma \Rightarrow \phi \rightarrow 2\pi - \phi$$

$$e^{i\omega t} \rightarrow e^{i\omega t} e^{-i\omega t}$$

$$\phi = e^{i\omega t}$$

$$\hat{A}_\gamma (e^{i\omega t} \pm e^{-i\omega t}) = \pm (e^{i\omega t} \pm e^{-i\omega t})$$

Spécifier

$$\lambda = |\mathbf{M}|$$

et

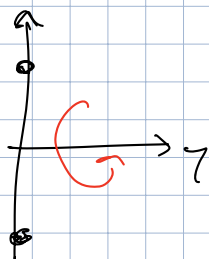
(= changement de signe)

$$\begin{pmatrix} \lambda \\ \pm \end{pmatrix}$$

est alternatif à

spécifier  $\mathbf{M}$

$\Rightarrow$  on fait tout ça pour prendre en compte le couplage des électrons aux rotations de la molécula.



on peut penser que:

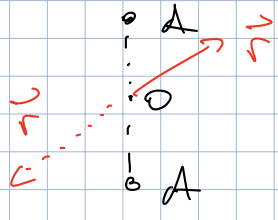
inverses distinguées par rapport à la partie sans réflexion

mais en fait  $\lambda$ -doublet

$$\begin{array}{c} \lambda, + \\ \lambda, +/- \\ \lambda, - \end{array}$$

ex.

## ① molécules homonucléaires



symétrie d'inversion autour de O

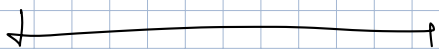
valeur propre

$$\begin{array}{c} + \\ \text{gerade} \\ \text{paar} \end{array} \quad \begin{array}{c} - \\ \text{ungerade} \\ \text{unpaar} \end{array}$$

$$\begin{array}{c} + \\ \text{gerade} \\ \text{paar} \end{array} \quad \begin{array}{c} - \\ \text{ungerade} \\ \text{unpaar} \end{array}$$

$$\text{ex. } \sum_{(g)}^{2s+1} \quad \prod_{(u)}^{2s+1}$$

spin total des électrons :  $\vec{s} = \sum_i \vec{s}_i$   $|\vec{s}|^2 = \sum s(s+1)$



# Description de l'état quantique des noyaux : vibrations et rotations

$\vec{F}_s(\vec{R})$  :

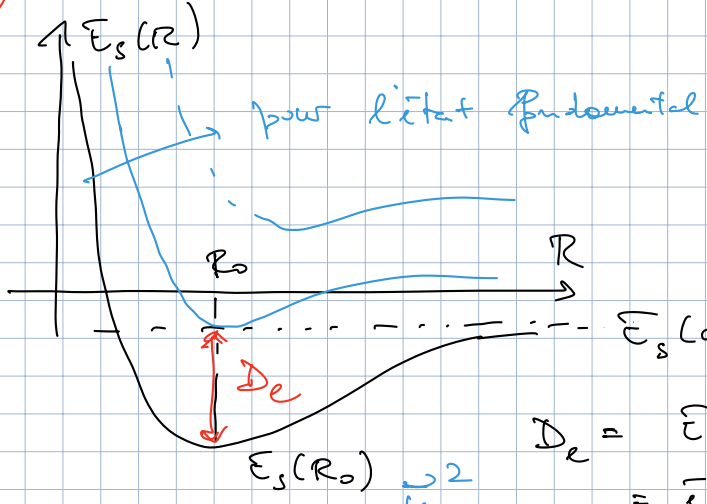
$$\left[ -\frac{\hbar^2}{2\mu_n} \vec{\nabla}_R^2 + E_s(R) \right]$$

$E_s(R)$

énergie propre de la molécule

$$\vec{F}_s(\vec{R}) \approx \sum \vec{F}_s(\vec{R})$$

équation de Schrö. pour un particule en 3d dans un potentiel central



$$E_s(R_0)$$

$$\frac{\hbar^2}{2\mu_n}$$

$$D_e = E_s(\infty) - E_s(R_0)$$

= énergie de l'en

$$\left[ -\frac{\hbar^2}{2\mu_n} \cdot \frac{1}{R^2} \frac{\partial}{\partial R} \left( R^2 \frac{\partial}{\partial R} (\dots) \right) + E_s(R) \right] \vec{F}_s(\vec{R}) = \sum \vec{F}_s(\vec{R})$$

$$\frac{\hbar^2}{2\mu_n R^2}$$

$\sqrt{h(R)}$

$N$  = moment cinétique de rotation de la molécules

$$\vec{N} = \vec{r} \times \vec{\omega}$$

$$\vec{R} = R (\cos \theta \sin \phi, \sin \theta \sin \phi, \cos \phi)$$

suite naturelle seront que:  $\vec{F}_s(\vec{R}) = \int_{R_{min}}^{R_{max}} \frac{f_{VN}(R)}{R} \gamma(N, \theta) dR$

$\gamma$  = mouvement radial  $\rightarrow$  vibration

$N$  = mouvement angulaire  $\rightarrow$  rotation

$$R_{max}(r)$$

$$|N|^2 \rightarrow \hbar^2 N(N+1)$$

$$N^2 \rightarrow \hbar M_N$$

$\Rightarrow \vec{N}^2 + N_M$  seraient des sous nombres quantiques

mais en réalité le symbole de la molécule est une rotation globale

$\Rightarrow$  les sous nombres quantiques associés sont  $\vec{L}$  et  $\vec{N}$

$$\vec{L}, \vec{N}$$

$$\vec{L} = \vec{r} + \vec{N}$$

mouv. cinétique

total de la molécule

$$\vec{N} = \vec{k} - \vec{l}$$

$$\vec{N} = \frac{\vec{k}^2}{\mu_n R^2} + \vec{l} - 2 \vec{k} \cdot \vec{l} \frac{\vec{l}^2}{\mu_n R^2}$$

$$V_{\text{eff}}(R) = \frac{\vec{k}^2}{2\mu_n R^2} + \Sigma_s(R)$$

$$= \frac{\vec{k}^2}{2\mu_n R^2} - \frac{2\vec{k} \cdot \vec{l}}{2\mu_n R^2} + \frac{\vec{l}^2}{2\mu_n R^2} + \Sigma_s(R)$$

$$\vec{l} = L_R \frac{\vec{R}}{|\vec{R}|} + \vec{l}_1 \approx L_R \frac{\vec{R}}{|\vec{R}|}$$

$$\vec{k} \cdot \vec{l} = k_R L_R = L_R^2 = \hbar^2 / R^2$$

$$k_R = \cancel{\frac{\hbar}{R}} + L_R$$

$$\vec{N} = \vec{R} \times \vec{P}$$

$$\left[ -\frac{\hbar^2}{2\mu_n} \frac{1}{R^2} \frac{d^2}{dR^2} \left( R^2 \frac{d}{dR} (\dots) \right) + \frac{\vec{k}^2}{2\mu_n R^2} + \Sigma_s(R) \right]$$

$\uparrow$

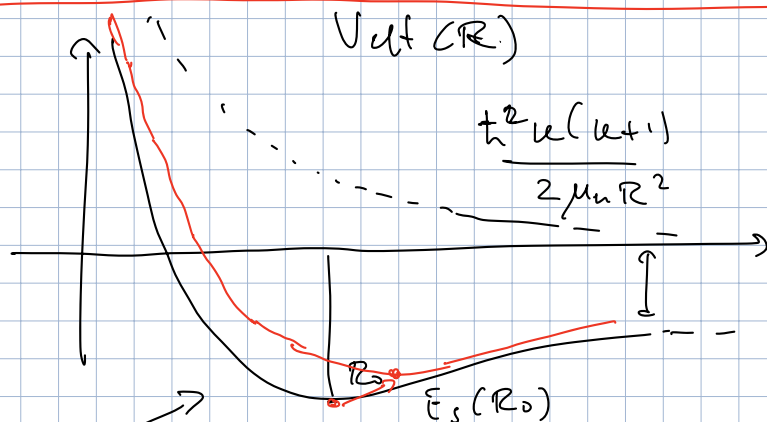
$$-\frac{\hbar^2}{2\mu_n} \frac{d^2}{dR^2} \frac{1}{R^2}$$

$$\lambda = 0$$

$$g_{vM_v}(\mathbb{H}, \mathbb{E})$$

$$= \Sigma_{s \neq R} \frac{f_{vR}^{(s)}(R)}{R} \frac{1}{2} \lambda_{uM_u}(\mathbb{H}, \mathbb{E})$$

$$\left[ -\frac{\hbar^2}{2\mu_n} \frac{d^2}{dR^2} + \frac{\hbar^2 v(R+1)}{2\mu_n R^2} + \Sigma_s(R) \right] f_{vR}^{(s)}(R) = \Sigma_{s \neq R} f_{vR}^{(s)}(R)$$



$$\frac{\hbar^2 \omega_{\text{c}}(l+1)}{2\mu_e R_0^2} \underset{l \sim 1}{\approx} \frac{\hbar^2}{2\mu_e R_0^2} \underset{l \sim 1}{\approx} \frac{\hbar^2}{2\mu_e R_0^2} \underset{\sim}{=} \frac{\frac{m_e}{m_N}}{\frac{m_e}{2\mu_e R_0^2}} D_e$$

## VIBRATIONS

en vertu de l'approx. on néglige la correction du  $\frac{\hbar^2 \omega_{\text{c}}(l+1)}{2\mu_e R_0^2}$

$$\tilde{a} \tilde{E}_s(R)$$



$$V_{\text{eff}}(R) \approx + \frac{1}{2} \mu_e \omega_0^2 (R - R_0)^2 + \dots$$

vibrations harmoniques

$\Rightarrow \sum_{n=0}^{\infty} E_n(R)$  fonctions propres de l'oscillateur harmonique

$$E_{n=0} = E_s(R_0) + \hbar \omega_0 \left( n + \frac{1}{2} \right) + \dots$$

$$n = 0, 1, 2, \dots$$

au delà de l'approx. harmonique :

$$V_{\text{eff}}(R) \approx E_s(\infty) + V_M(R)$$

$\underbrace{\qquad}_{\text{potentiel de Morse}}$

$\hookrightarrow$  potentiel de Morse

$$V_M(R) = D_e \left[ \exp(-2\alpha(R - R_0)) - 2 \exp(-\alpha(R - R_0)) \right]$$

$$[\alpha] = \frac{1}{l}$$

$$D_e, \alpha, R_0$$

paramètres d'ajustement

$\sqrt{\mu}(R)$  contient  
des solutions  
exactes

$$R \rightarrow R_0$$

$$\approx -D_e + \underbrace{\alpha^2 D_e}_{\frac{1}{2} \mu_n \omega_0^2} (R - R_0)^2 + O(R - R_0)^3$$

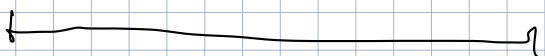
$$\omega_0 = \sqrt{\frac{2 \alpha^2 D_e}{\mu_n}}$$

$$\boxed{E_{sv, \text{ex}} = E_s(R_0) + \cancel{t(\omega_0)} \left(v + \frac{1}{2}\right) - t(\beta \omega_0 \left(v + \frac{1}{2}\right)^2 + \dots)}$$

$$\beta = \frac{t \omega_0}{4 D_e} \sim \sqrt{\frac{\mu_e}{\mu_n}}$$

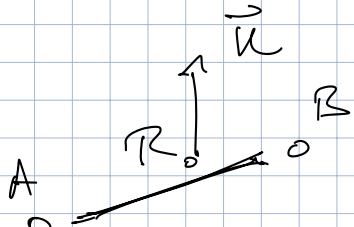
paramètre d'anharmonicité

$$=$$



## ROTATIONS

$E_u$  première appr.



$$\frac{\vec{u}^2}{2 \mu_n R^2}$$

rotateur  
rigide

$$\approx \frac{\vec{u}^2}{2 \mu_n R_0^2}$$

$$= \frac{\vec{u}^2}{2 I}$$

$$I = \mu_n R_0^2 = \text{mom. d'inertie classique de la machine}$$

$$= M_A (R_A - R_{CM})^2 + M_B (R_B - R_{CM})^2$$

$$R_{CM} = \frac{M_A R_A + M_B R_B}{M_A + M_B}$$

$$E_{\text{SVD}} = E_s(R_0) + \hbar \omega_s (\nu + \frac{1}{2}) + \dots$$

$\uparrow$

$$+ \frac{\hbar^2}{2\mu_v R_0^2} \kappa(\kappa+1) + \dots$$

spectre rotационnel  
 ↓ →

COUPLAGE ROTATIONS - VIBRATIONS : DISORTION CENTRIFUGE

du facteur harmonique du potentiel  $V_{\text{eff}}(R)$

$$\begin{aligned}
 & \frac{1}{2} \mu_n \omega_n^2 (R - R_0)^2 \\
 & + \frac{\hbar^2}{2\mu_v R^2} \kappa(\kappa+1) \stackrel{R \approx R_0}{\approx} \frac{\hbar^2}{2\mu_v R_0^2} \kappa(\kappa+1) - \frac{\hbar^2}{2\mu_v R_0^3} \kappa(\kappa+1) (R - R_0)^3 \\
 & \quad + 3 \frac{\hbar^2}{2\mu_v R_0^4} \kappa(\kappa+1) (R - R_0)^2 + \dots \\
 & \quad + \frac{1}{2} \mu_n \omega_n^2 (R - R_0)^2 \\
 & \quad \quad \quad \uparrow \quad \uparrow \\
 & = \frac{1}{2} \mu_n \omega_n^2(\kappa) (R - R_n(\kappa))^2 + \text{const.}
 \end{aligned}$$

$$\frac{1}{2} \mu_n \omega_n^2(\kappa) = \alpha^2 D_e \left( 1 + \frac{3}{4} \frac{\hbar^2 \kappa(\kappa+1)}{\mu_n R_0^4 \alpha^2 D_e} \right)$$

$$R_n(\kappa) = R_0 + \frac{\hbar^2}{2\mu_v} \frac{\kappa(\kappa+1)}{\alpha^2 R_0^3 D_e}$$

↓ →

# SPECTROSCOPIE MOLECULAIRE

$$\Psi_{\text{symMn}}(\{\vec{r}_i\}, \vec{R}) = \Phi_s(\{\vec{r}_i\}, \vec{R}) \frac{\mathcal{J}_{\text{vib}}^{(s)}(R)}{R} \mathcal{U}_{\text{symMn}}(A, E)$$

$\downarrow$

$$-1, \pm, (S/\mu)$$

transitions

$$(S, V, k, Mn) \rightarrow (S', V', k', Mn')$$

$\downarrow$   
couplage entre champ ext. et dipole électrique

$$\vec{D} = -e \sum_{i=1}^N \vec{r}_i + e z_A \vec{R}_A + e z_B \vec{R}_B$$

transition est permise si

$$\int d^3R (\vec{u}, d^3r) \Psi_{\text{symMn}}^* \vec{D} \Psi_{\text{symMn}} \neq 0$$

$$= \int \left( d^3R \right) \vec{u}^* \mathcal{J}^* \mathcal{U} \mathcal{J} \vec{u} \int (\vec{u}, d^3r) \Phi_s^* \vec{D} \Phi_s$$

$\langle \vec{D} \rangle_{SS'}$

$A \quad \quad \quad B$

$\langle \vec{D} \rangle_{SS'} \neq 0$

$A \neq B$

$\langle \vec{D} \rangle_{SS} \neq 0$

transitions

possibles si  $A \neq B$

frustrations

conservation rules

$$\int d^3R \mathcal{J}^* u^* \langle \vec{D} \rangle_{ss} \mathcal{J} u$$

Si:  $\begin{cases} \lambda = 0 \\ \bar{u} = \bar{N} \end{cases} \quad u \rightarrow y_{uMu}$

$$= \int dR R^2 \mathcal{J}^* \mathcal{J} \int dS y_{u'Mu}^* \langle \vec{D} \rangle_{ss} y_{u'Mu}$$

$\downarrow \quad \bar{u}_a$

$$\langle u^{(1)}_{Mu} | D_q | u^{(1)}_{Mu} \rangle$$

$$\approx C_{qMu; u'Mu'}$$

$$\Delta u = \sigma, \pm 1 \quad \Delta M_u = q$$

Si:  $\lambda \neq 0$

$$\Delta u = \sigma, \pm 1 \quad \Delta M_u = q$$